

信州大工 正員 余越 正一郎 正員 富井 五郎

1 まえがき 湖の水は複数の原因により移動し、その結果湖流が生ずる。しかしこの詳細は現在でも十分解明されていない。本研究は諏訪湖における湖流の運動特性を明らかにすることにより、スル水現象の解明や汚染の拡散予測に役立せることを目的として行なつた。このためミシガン湖をモデルにして考えられた<sup>1)</sup>、浅く広い湖における解析モデル（二次元一層モデル）を諏訪湖に適用した数値実験、および浮子漂流観測を行ない、従来との併合につれて定説のほかに諏訪湖の湖流を定量的に確認した。

2 数値実験およびその結果 浅川湖の流れの基礎式には解析を簡単にするため次の仮定を設ける。  
 1) 流れは定常とする。  
 2) 粘性力はコリオリ力に比べて無視する。  
 3) 湖は浅川の支配的摩擦力は底面摩擦であるとし、運動量の水平拡散を無視する。  
 4) 銀直混合係数は鉛直方向に一定である。以上より基礎式は、  
 $-fv = \frac{1}{P} \cdot (\partial \eta / \partial x) + K \cdot (\partial^2 \eta / \partial z^2)$ ,  
 $fu = -\frac{1}{P} \cdot (\partial \eta / \partial y) + K \cdot (\partial^2 \eta / \partial z^2)$ ,  
 $g = -\frac{1}{P} \cdot (\partial^2 \eta / \partial z^2)$ ,  
 $(\partial^2 \eta / \partial x^2) + (\partial^2 \eta / \partial y^2) + (\partial^2 \eta / \partial z^2) = 0$ , 境界条件；底面  $\eta = 0$ ,  
 $u = v = w = 0$ , 水面  $\eta = 0$  で  $K \cdot (\partial^2 \eta / \partial z^2) = C_f$ ,  $K \cdot (\partial^2 \eta / \partial z^2) = C_g$  となる。  
 ここで  $u$ ,  $v$ ,  $w$  は  $x$ ,  $y$ ,  $z$  方向の流速で、  
 $x$ ,  $y$  軸は水平面内で、 $z$  軸は鉛直方向で上に正 $z$  水面が零である。  
 また  $P$  は圧力、 $\rho$  は水の密度、 $K$  は銀直混合係数  
 $\eta$  は重力の加速度、 $C_f$ ,  $C_g$  は風による  $x$ ,  $y$  方向のせん断応力、すなはち風は成層しないと仮定し基礎式をときし、ひを求める。  
 この  $u$ ,  $v$  の式は  $\eta$  が  $x$ ,  $y$  の未知量を含んでいる。  
 ここでこの  $u$ ,  $v$  を  $z = -h$  (水深) から  $z = 0$  の範囲で積分し、銀直断面内の平均流速  $\bar{u}$ ,  $\bar{v}$  を求め、これに流れ関数  $\bar{\eta} = \frac{1}{P} \cdot (\partial \eta / \partial y)$ ,  $\bar{v} = -\frac{1}{P} \cdot (\partial \eta / \partial x)$  を導入する。  
 このとき連続の式は自動的に満足され、 $\bar{u}$ ,  $\bar{v}$  に対する式より  $\partial^2 \eta / \partial z^2$ ,  $\partial^2 \eta / \partial y^2$  を消去して  $(\partial^2 \eta / \partial x^2) + (\partial^2 \eta / \partial y^2) + Q \partial^2 \eta / \partial z^2$   
 $+ b \cdot (\partial \eta / \partial y) + c = 0$  が得られる。ここで  $a$ ,  $b$ ,  $c$  は  $x$ ,  $y$  の既知関数である。この式を中央型差分表示し、境界条件を考慮して数値実験を行なつた。次に諏訪湖の数値実験について述べる。

諏訪湖は面積  $14 \text{ km}^2$ 、最大水深  $6.5 \text{ m}$  強、平均水深  $4 \text{ m}$  で、  
 その非常に浅川湖で、水深と水平長さの代表寸法の比は  
 $0.1(10^{-3}) \ll 1$  で十分浅川のモデルが適用出来る。  
 またここで湖面の都合上示さないが、水深の銀直分布観測より看取、および  $3 \text{ m/s}$  以上の風が吹いた後では夏でも水温はほぼ  
 一様となり一層モデルが適用出来る。  
 解析 X 4 ミニは  $x$  方向に  $3.6 \text{ km}$ 、 $y$  方向に  $4.6 \text{ km}$  の矩形領域を  $x$ ,  $y$  方向とも  $200$

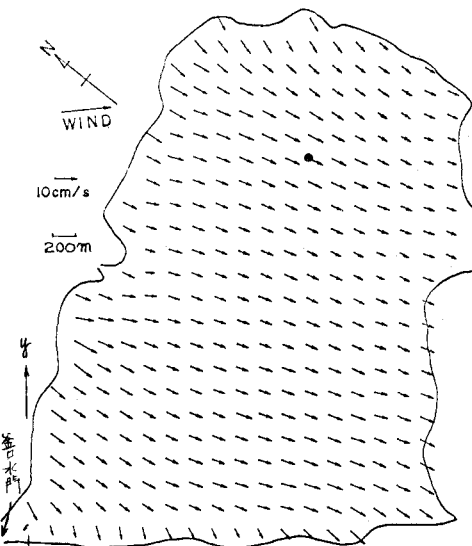


図-1 水表面の流速分布(風速3m/s)

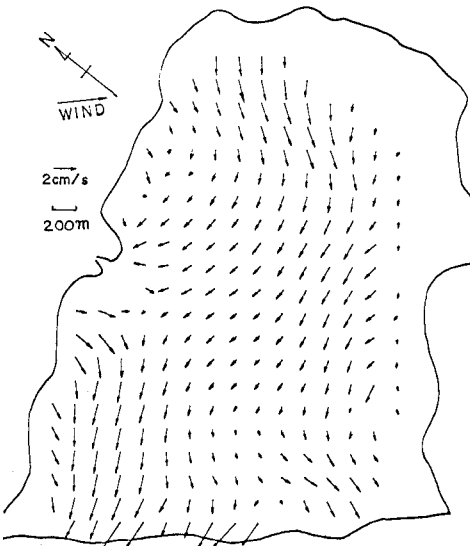


図-2 水表面下 2.6m の流速分布(風速3m/s)

mの間隔にされそれを18,23等分して組んだ。中に対する境界条件として湖面外の格子点、および解析の境界の格子点 $\bar{x}$ 、湖へ流入/outのある格子点を除き零とした。湖への流入/outとしては金口水門の流出量( $15\text{m}^3/\text{s}$ )だけを考え、他は格子点 $\bar{x}$ の流速が小(2~11)の $\bar{v}$ 無視した。数値実験結果の一例として浮子漂流観測の気象条件に近いものを図-1,2,3に示す。このとき $k=3.3\text{cm}^2/\text{s}$ ,  $T=0.13\text{f}/\text{cm}\cdot\text{s}^{1/2}$ ,  $K$ は風速より理論的に推定し、 $\bar{v}$ ではBalk公式より求めた。図より水面における流速は風速の7%程度で、その方向はコリオリ力により風向に逆し時計回り方向に偏る $\bar{v}$ である。図-4は一例として図-1の印点の鉛直方向の流速分布を示したものでエクマンスパイラルである。この図で吹送流の主要範囲を示す摩擦深度が湖底近くまで達しているが、これは湖が浅いため表面に作用する風によるせん断力の影響が湖底まで達していることを示す $\bar{v}$ である。

風向、風速を変えた他の数値実験でも、上に述べた結果を得る $\bar{v}$ 。

### 3 浮子漂流観測との結果

観測は幅25cm、長21mの板を十字に組み、色別これまでブルーをつけた浮子を湖の適当な位置より同時に10ヶ漂流させ、この動きを湖岸に設置して7ヶ所の観測点よりトランシットで船上からの角度を測ることにより追跡を行なった。結果を図-5,6,7に示す。ここに印は30分ごとの浮子の位置で、印はどの程度を、湖岸の①~⑦は浮子観測点を、NO.1~3, Center (7時15分) は水温観測点を示す。この結果からも時計回り方向の環流が存在することがわかる。

### 参考文献

1) J.A. Liggett et al; CIRCULATION IN SHALLOW HOMOGENEOUS LAKE, ASCE, HY2, (1969)

2) 余越、高野; 論説  
河川の循環流について(2), 信州  
大工能叢 40号(1976)

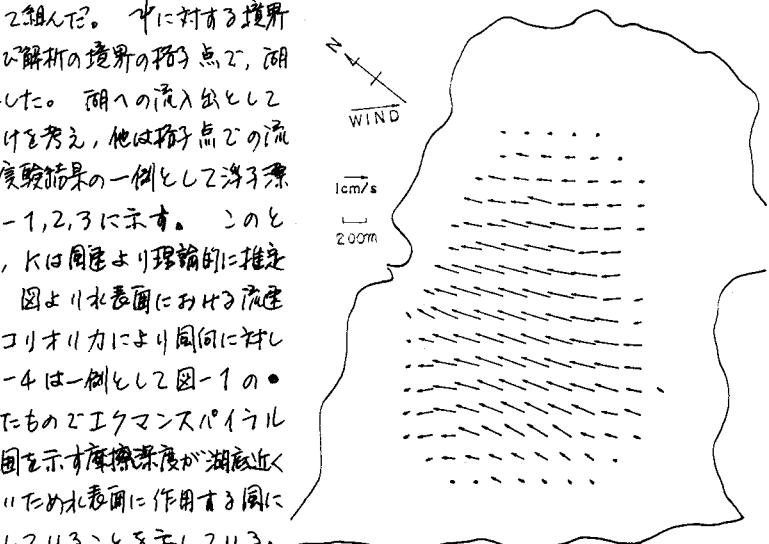


図-3 水表面下5.2mの流速分布(風速3%)

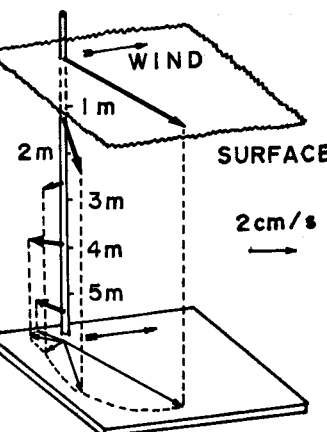


図-4 エクマンスパイラル

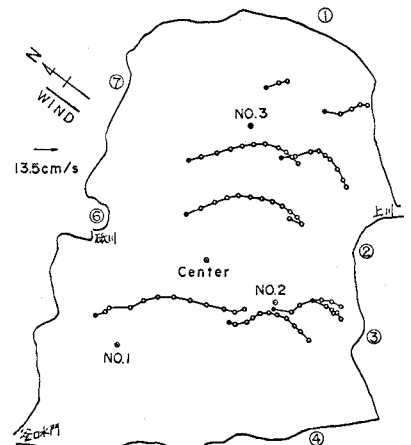


図-5 浮子の動き(7月14日、晴、風速1.6m/s)

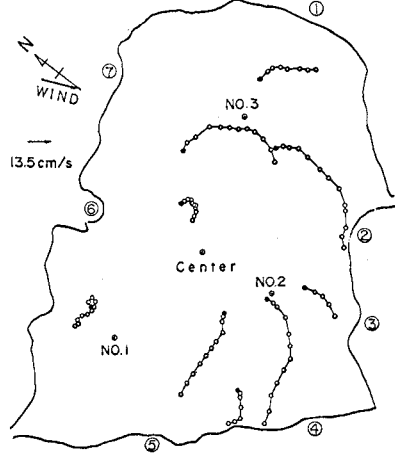


図-6 浮子の動き(7月15日、晴、風速2.6m/s)

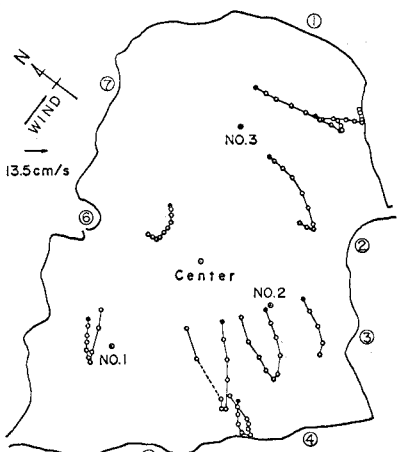


図-7 浮子の動き(7月16日、晴、風速2.8m/s)